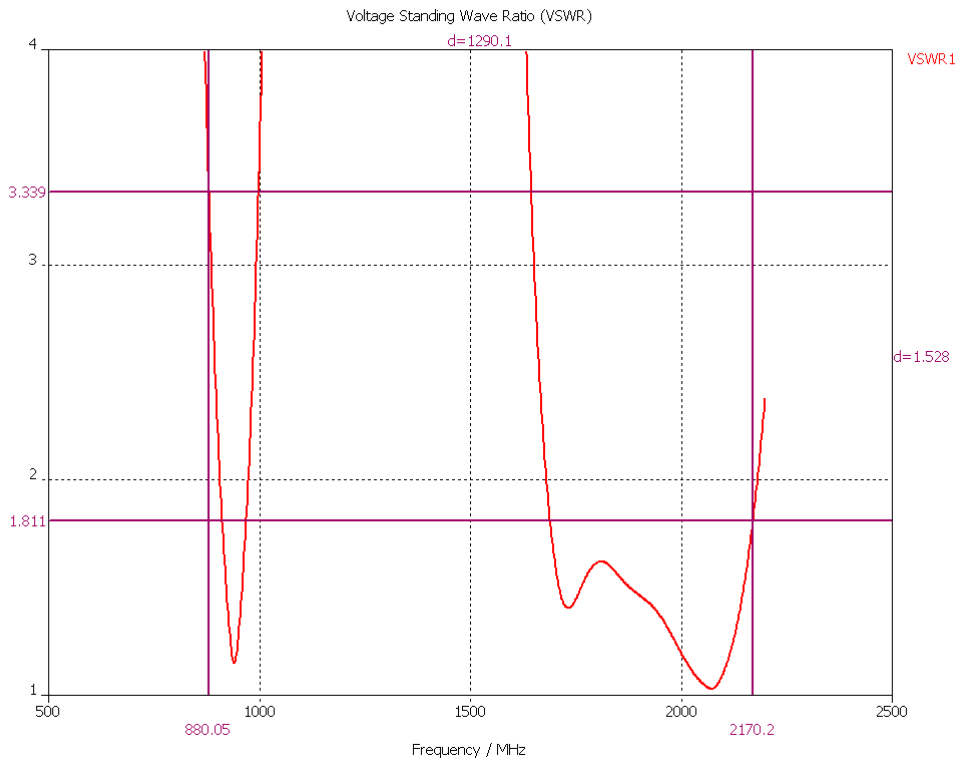


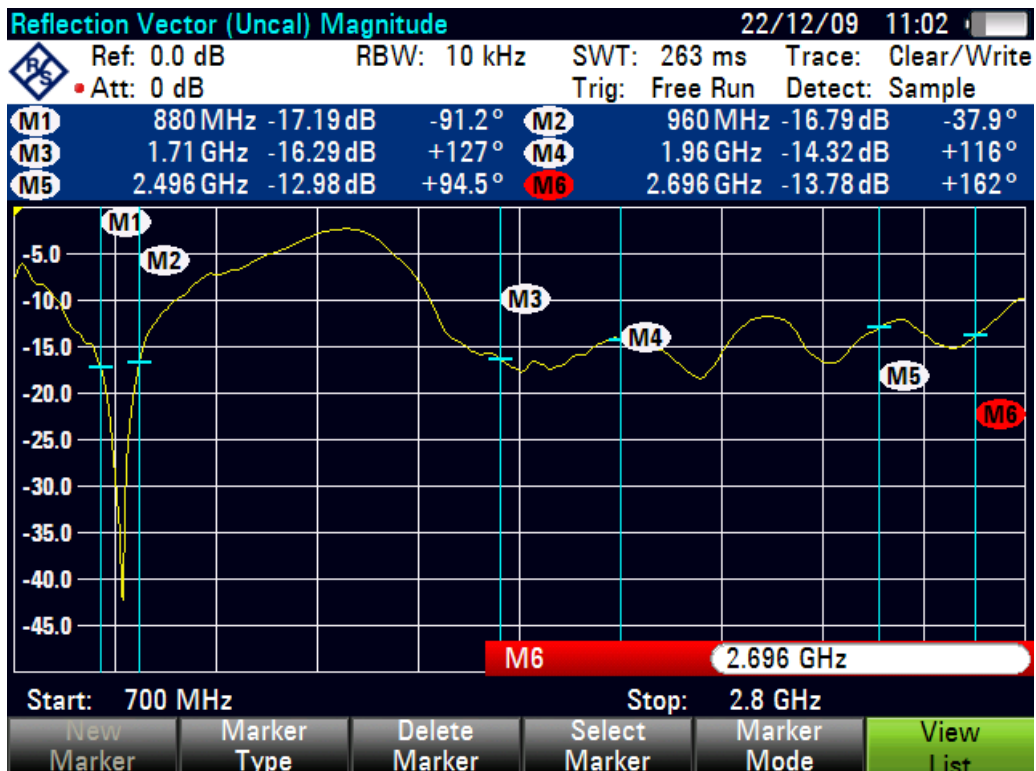
1. Параметры согласования

1.1. Модуль коэффициента отражения

Компьютерное моделирование

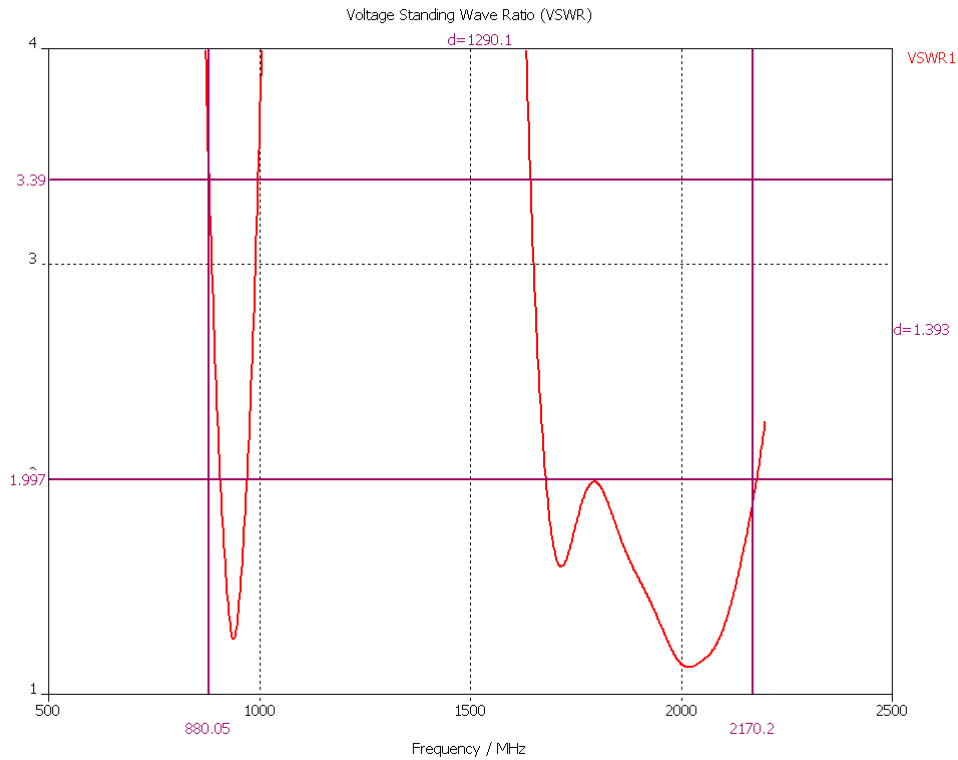


Результат измерений

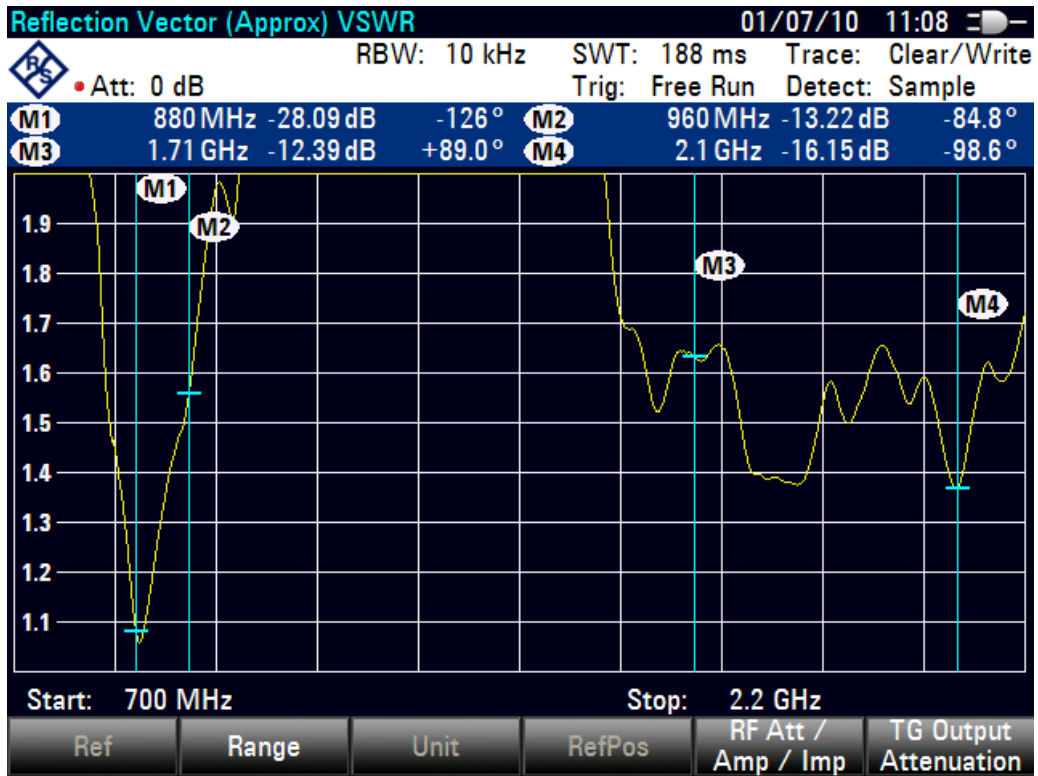


1.2. КСВН

Компьютерное моделирование



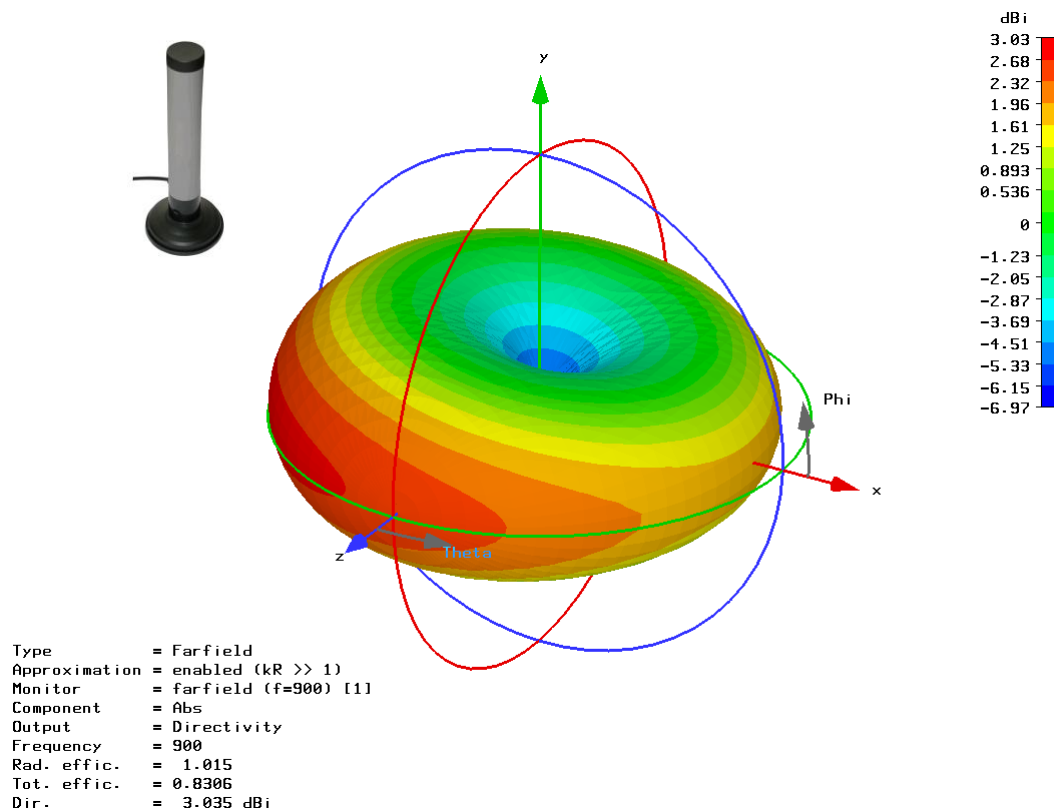
Результат измерений



2. Диаграмма направленности в свободном пространстве Компьютерное моделирование

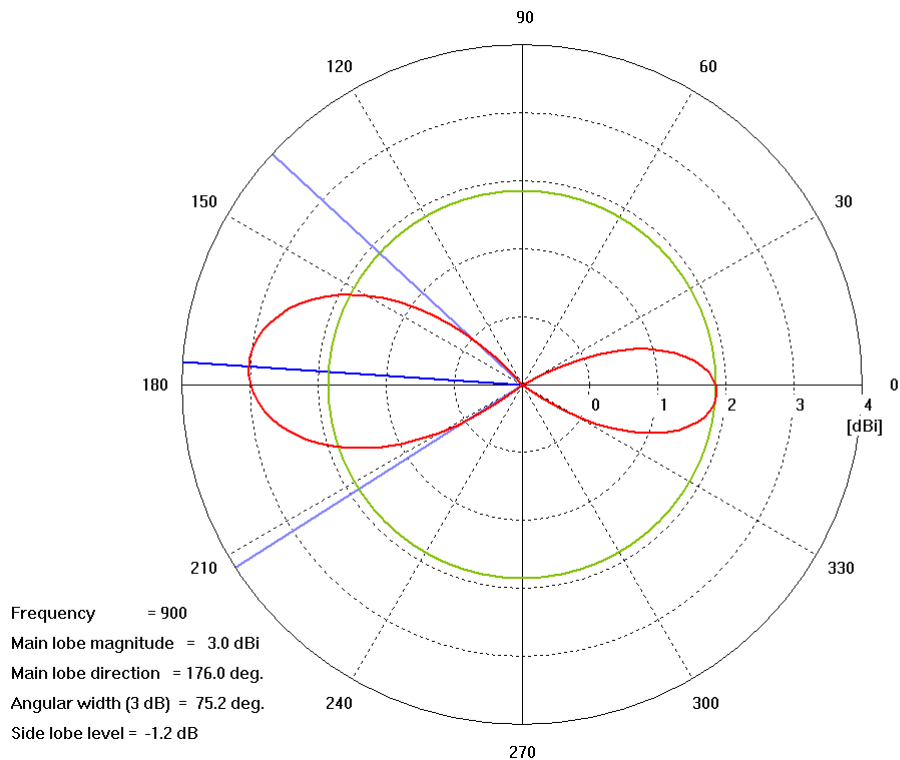
2.1. В диапазоне 900 МГц

2.1.1. 3D

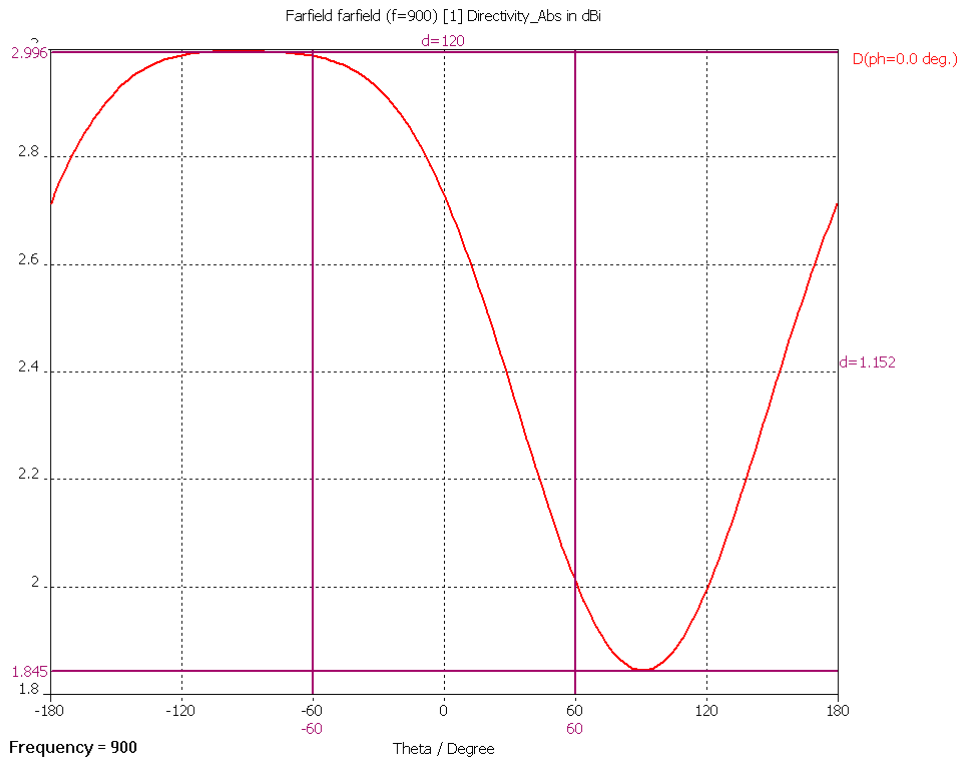
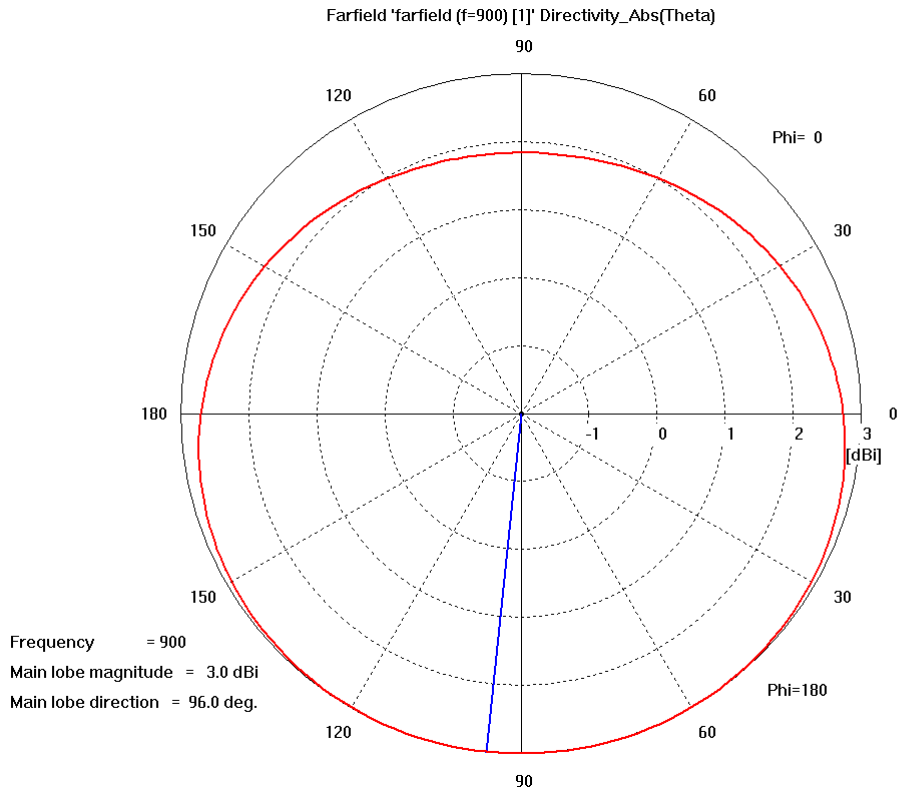


2.1.2. В вертикальной плоскости

Farfield 'farfield (f=900) [1]' Directivity_Abs(Phi); Theta= 90.0 deg.

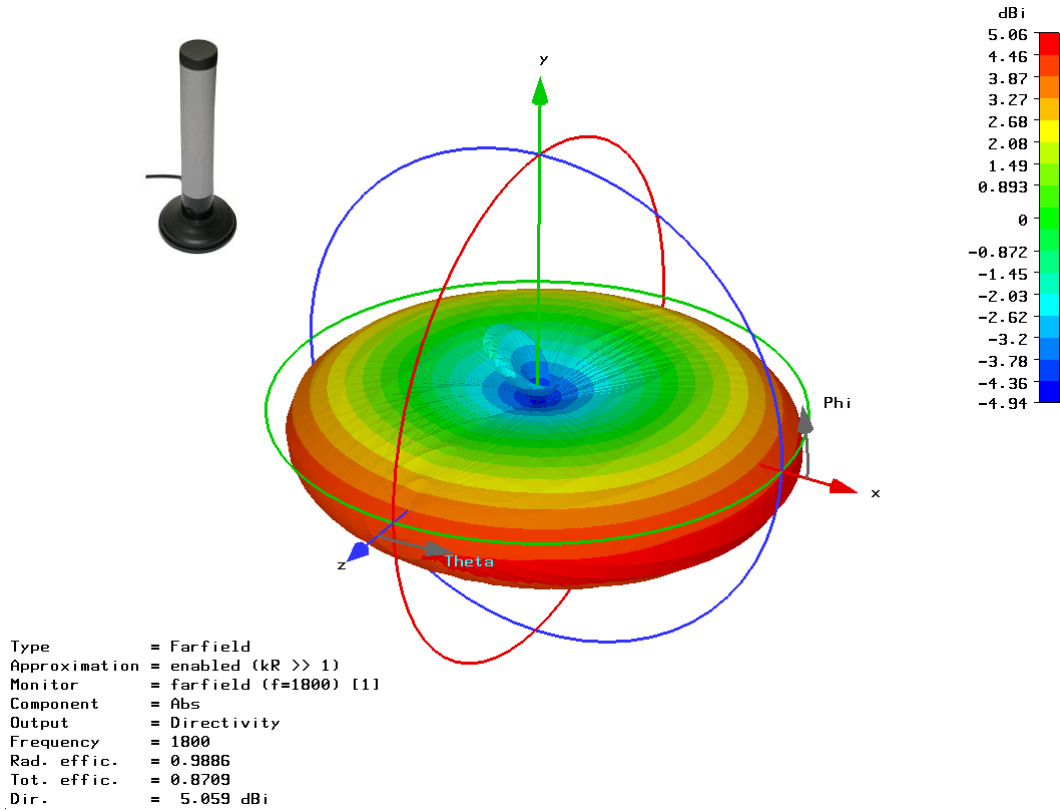


2.1.3. В горизонтальной плоскости



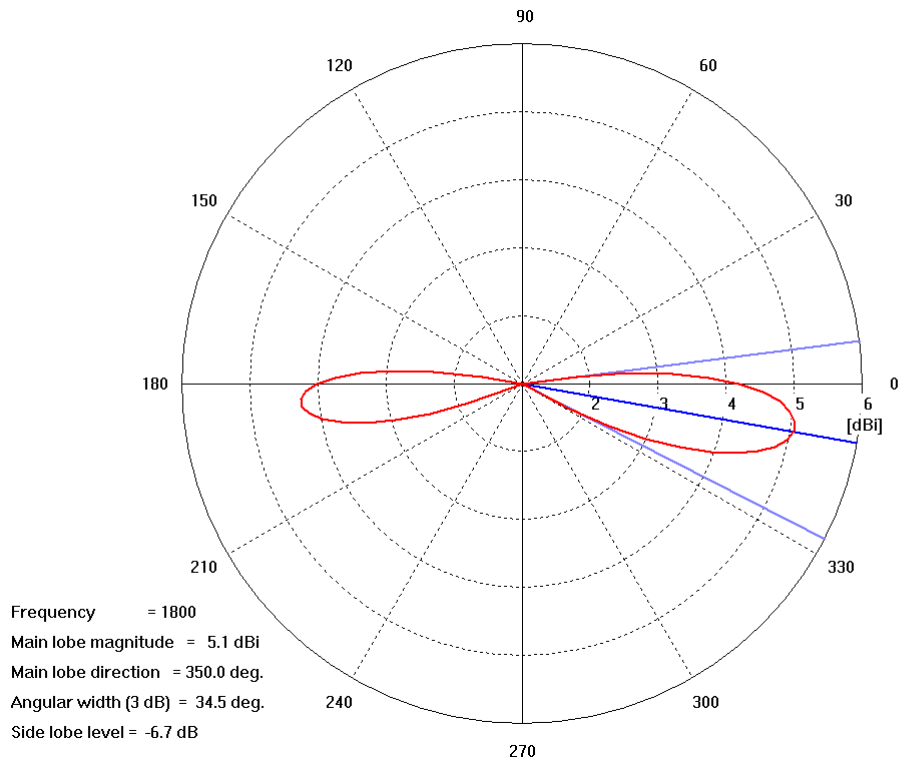
2.2. В диапазоне 1800-2100 МГц

2.2.1. 3D



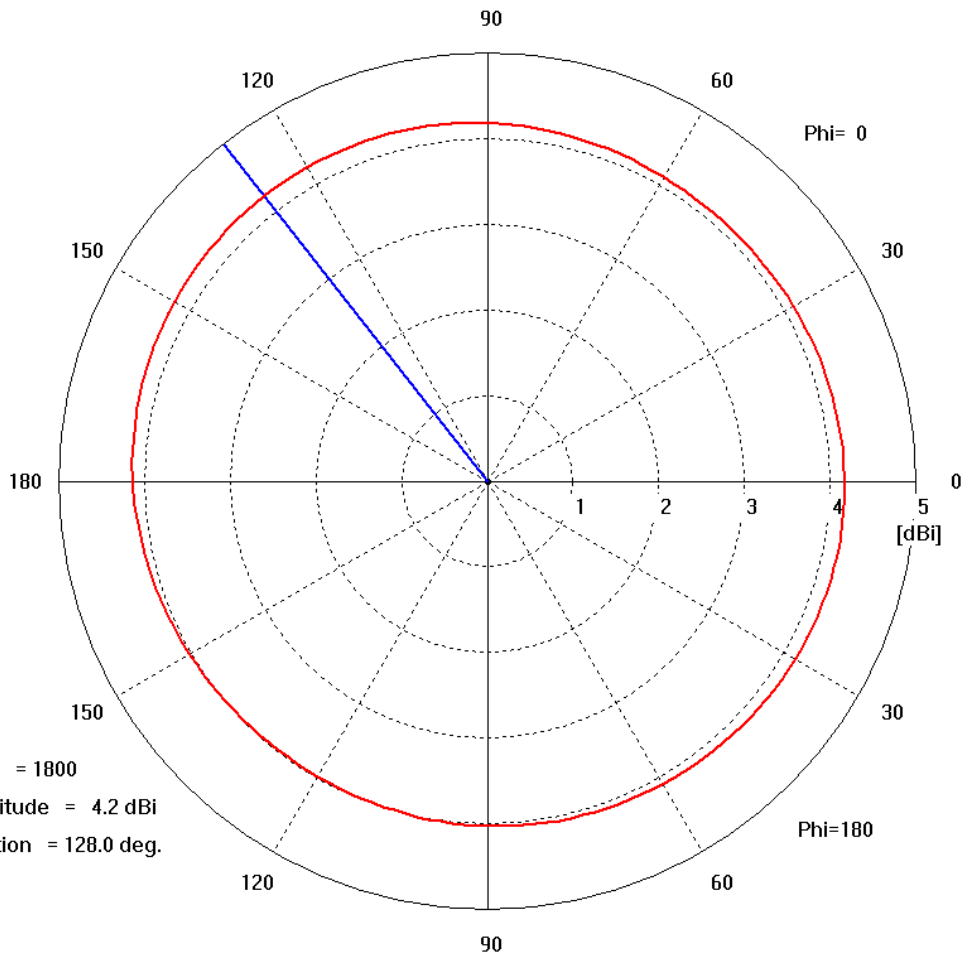
2.2.2. В вертикальной плоскости

Farfield 'farfield (f=1800) [1]' Directivity_Abs(Phi); Theta= 90.0 deg.

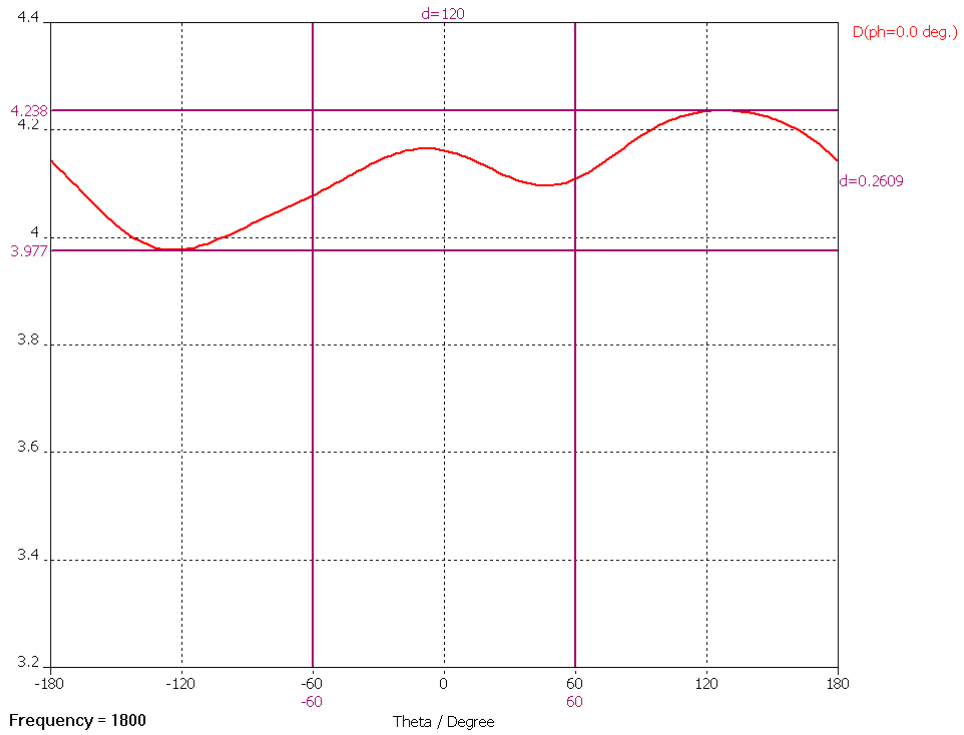


2.2.3. В горизонтальной плоскости

Farfield 'farfield (f=1800) [1]' Directivity_Abs(Theta)



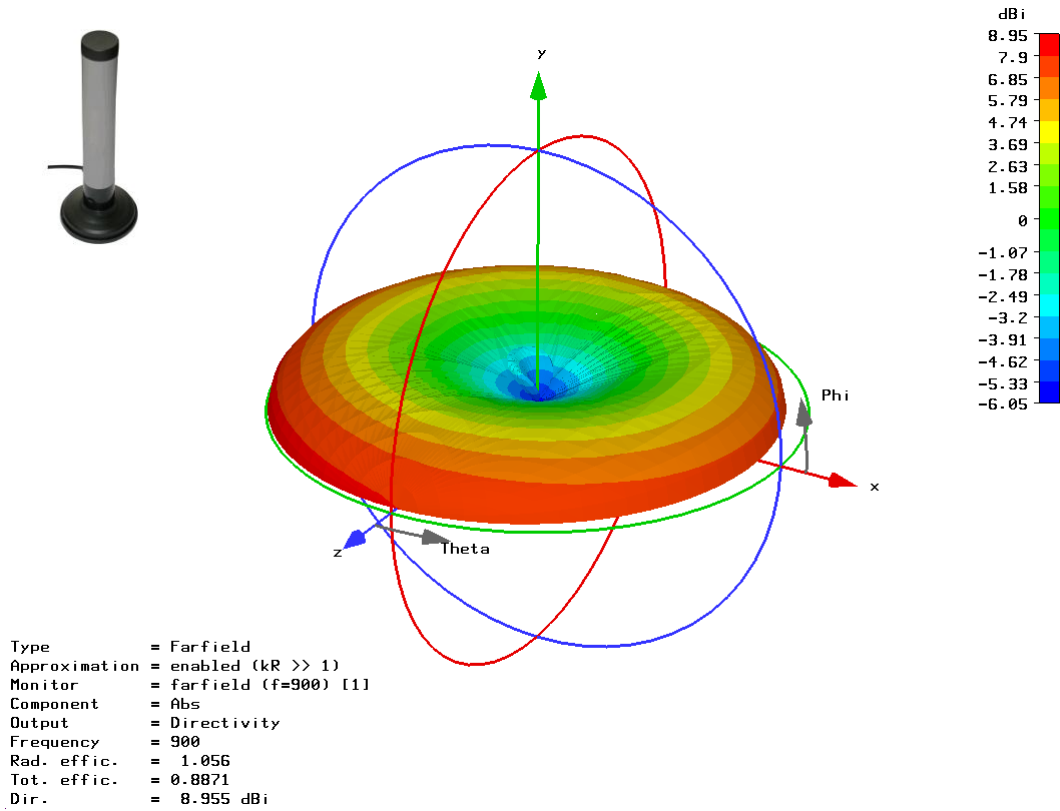
Farfield farfield (f=1800) [1] Directivity_Abs in dBi



3. Диаграмма направленности над идеальной землёй Компьютерное моделирование

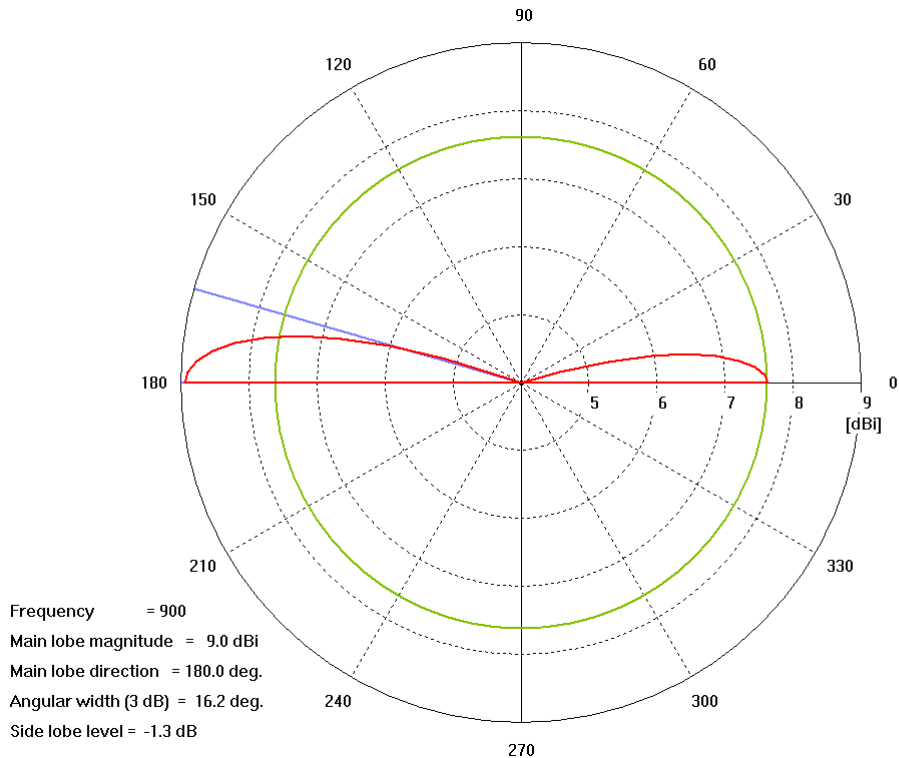
3.1. В диапазоне 900 МГц

3.1.1. 3D

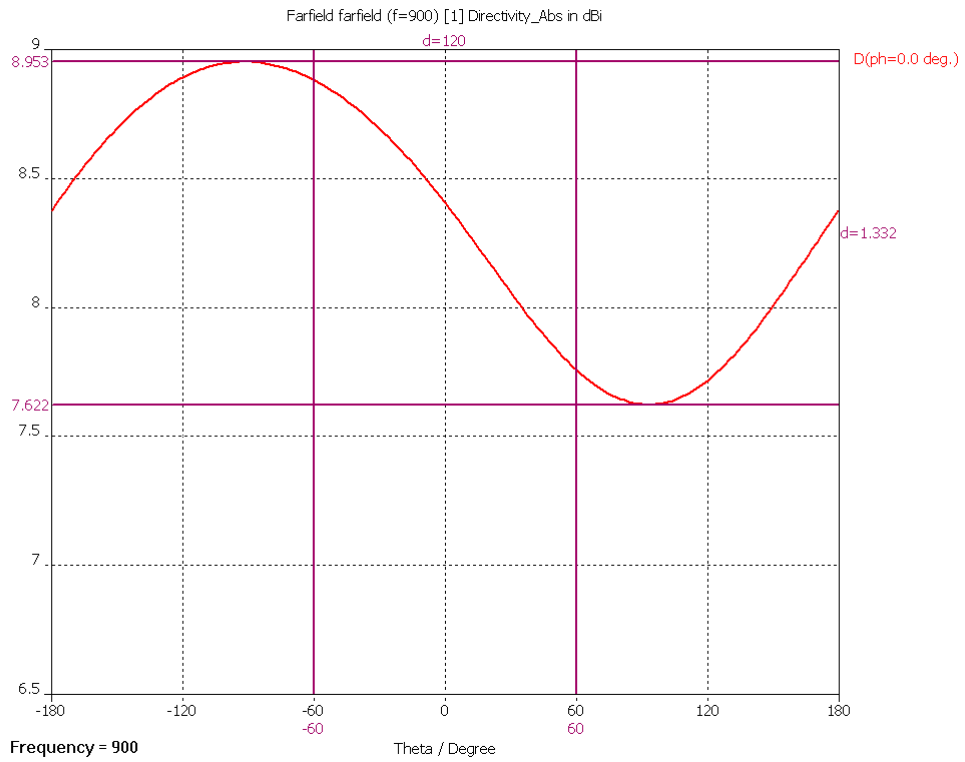
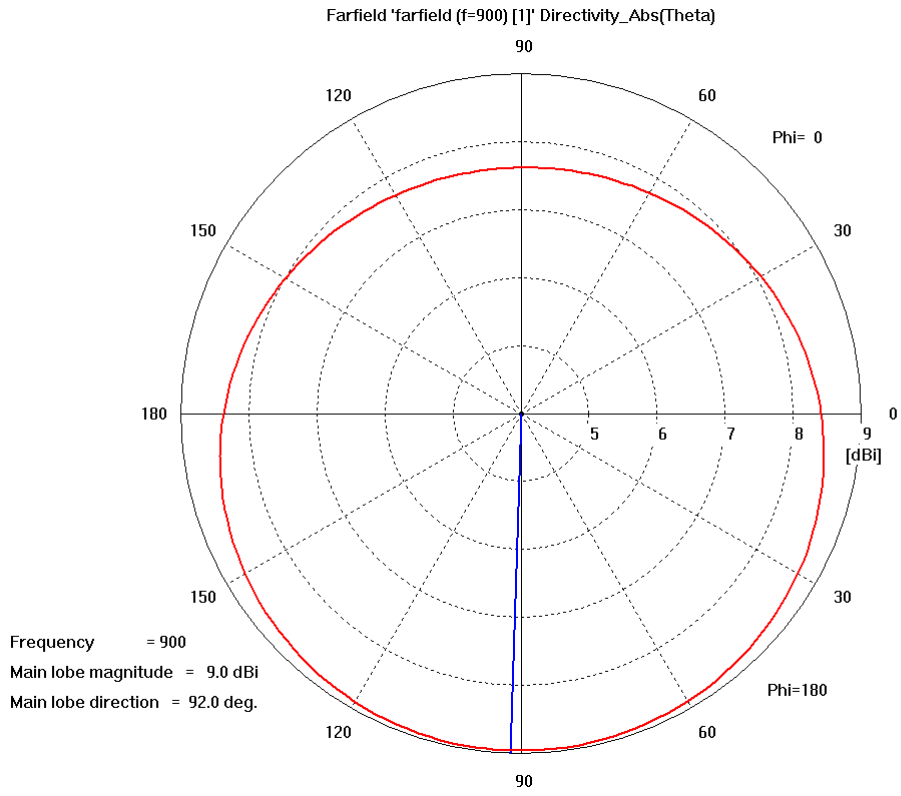


3.1.2. В вертикальной плоскости

Farfield 'farfield (f=900) [1]' Directivity_Abs(Phi); Theta= 90.0 deg.

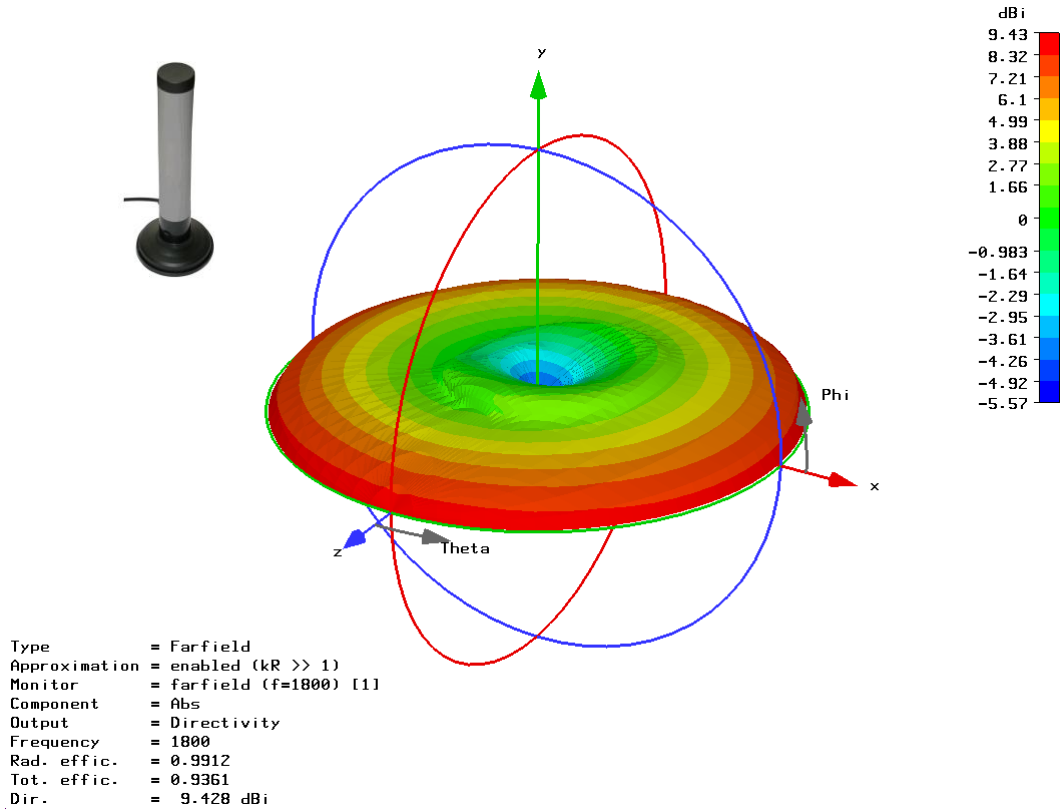


3.1.3. В горизонтальной плоскости

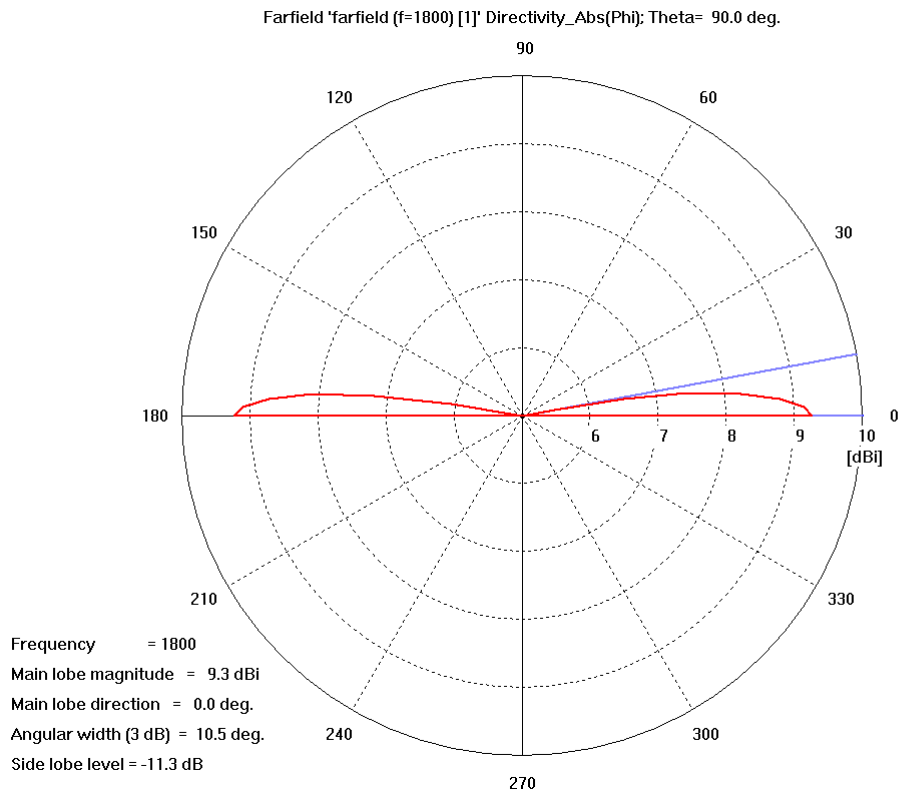


3.2. В диапазоне 1800-2100 МГц

3.2.1. 3D



3.2.2. В вертикальной плоскости



3.2.3. В горизонтальной плоскости

